

原子爐의 摸擬에 使用 되는

演算增幅器에 對하여

高丙俊

I. 序論
II. 本論
(一) 原子爐摸擬

(一) 演算增幅器
(二) 演算增幅器의 利用
III. 結論

I. 序論

制御系에서 使用되는 D.C. amplifier 는 그利用의範例가 바로 D. computer에適用된 그것이 1947 年에 Ragazzini が 改良한 演算增幅器(Operational amplifier)를 完成하였으므로 이로서 始作된 것이다. 故로 歷史가 雖은 이해對한 研究와 使用問題는 아직까지도 계속되고 있다.

따라서 本稿에서는 演算增幅器回路에 對한 細立을 具體의으로 說明하고 그의 特性을 實驗으로서 일어 TRIGA MARK II 原子爐의 simulating에 利用가 가능할지 그 利用價值를 探討하고자 관찰하였다.

II. 本論

(一) 原子爐摸擬

原子爐의 energy 를 放出하는 中性子가 Uranium에 衝突하여 核分裂하는 경우 發生되는 것은 이 狀態는 中性子生起率 數와 损失率 數의 比를 K 라 할 때 中性子의 時間的變化는

$$D\Delta^2\phi - \Sigma_a\phi + S = \frac{\partial\phi}{\partial t} - \frac{1}{v} = \frac{\partial n}{\partial t}$$

(發生一般吸收-漏洩).....(1)

를 滿足시키는 特性을 갖고 있는 것이다. 그러나 實際에는 核分裂時一定時間內에 放出되는 運發性中性子에 依る 補正하여야 되는 것으로 위 特性式은

$$D\Delta^2\phi - \Sigma_a\phi + (1-\beta)K\Sigma_a\phi e^{-B\tau} + Pe^{-B\tau}\Sigma\lambda_i C_i - \frac{\partial n}{\partial t}(2)$$

로 되어

주어진 條件에 依하여 整理하면 式은

$$K_{ex} = l\omega + K_{eff} \sum_{i=1}^m \frac{\omega}{\omega + \lambda_i} - \beta_r(3)$$

와 같아 된다.

이것은 ω , K_{eff} , β_r 및 λ_i 는 parameter로 暈量과 原子爐內에 있는 物質의 物理的 性質과 關聯한 特性方程式인 것이다. 이의 중에 原子爐 自體의 體系가 아래 parameter로 所持하고 있는 式에서 解는 實際의 方程式임은 아니다.

그러나 이면 現象은 甚る 物理的 現象으로 바꾸어 模擬(Simulating)하면 그解를 求할수 있게 되는 것이다.

위의 아래 parameter인 ω , K_{eff} , β_r 및 λ_i 는 電氣的 parameter로 바꾸어 之가 為하여 그림 (1)과 같은 回路을 用하여 所要하는 parameter를 求하였다. 即 그림 (1)와 같이 $I_1 + I_2 - I_3 - I_4 = 0$ 이 되게 回路을 구장하면

$$\begin{aligned} I_1 &= \frac{C_1\omega}{R_1 C_1\omega + 1} E, \quad I_2 = C_2\omega E, \\ I_3 &= f_{D,P,R}(E), \quad I_4 = 0 \\ I_1 + I_2 - I_3 - I_4 &= \frac{C_1\omega}{R_1 C_1\omega + 1} E + C_2\omega E - f_{D,P,R}(E) = 0 \end{aligned}(4)$$

式이된다.

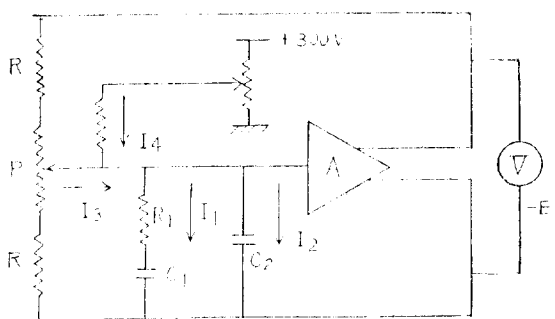


그림 1. 簡單な 原子爐摸擬型

(3) 式即 $K_{ex}^{-1} \rho K_{eff}$, $K_{eff} = 1 - K_{ex}$ 的關係式是代替的。

개설다. 故第 (3)式與 (4)式是 其較詳之 並列 各項與
係數也

$$\phi = E_0 - C_0 \omega + \frac{i\omega}{K_{max}}, \quad R(C_0 \omega + 1) < \frac{\omega \beta}{\omega + \beta},$$

$$\int D(\mu) d\mu = 0$$

되는同一型 方程式으로서 reactor의 parameter 代身
電氣的 parameter로 바꿔어 使用할수 있음을 알수있는
것이다. 따라서 萬一 上式에서 $K_{eff}=1$ 로 하면 $I= C_2$
가 되어 增幅器의 出力端電壓($\pm E$)는 reactivity($f_{(D,
P,R)}$)變化에 따라인어지는 中性子 密度의 直接的인 测
定值가 成立하는 것이다. 이와같은 测定은 實上要求되
는 式의 解를 爲한 上記回路 即 simulator의 核心인
演算 增幅器의 動作에 關り져 있으므로 이것을 具體的으
로 다음과 같이 特性을 實驗하였다.

(1) 清算增幅圖 그림 (2)와 같이 넓리 알려

진 differential amplifier는 初便에 一重의 D.C. amplifier인 것이다. 元來 이 演算增幅器는 線形演算要素을 主體로 하는 高利得增幅器($-A$)인 것으로 가장 重要한 要素로하여 있어 積分器 및 加算器로 使用하는 以外에 非線形要素中 그一部에도 使用하고 있는 것이다. 이와 같은 直流增幅器는 時間의으로一定하고 徐徐히 變化하는 電壓或者 電流를 增幅하는 回路임 故로 直流信號은 交流로 讀換하여 增幅하기 위한 別問題은 되고, 그 각段의 導電의으로 直接 結合되어야 할 필요가 있으나, 이 때의 回路가 直流를 通過하고 있는 것이나 電壓에 그 대비로 交流도 通過할 수 있는 뿐만 아니라 그 交換성이 있는 것이다. 一般的으로 여기서 使用되는 直流增幅器는 原子振의 特性上 그 周波數帶이 0~100 cycle程度를 表하며 利得이 充分히 크고 또 歸還에 依頼 発振이 없는位相推移가 적은 것이라야 한다. 따라서 直流增幅回路은 直接結合된 것이기 때문에 다음과 같은 여러 獨特한 問題가 生起하고 있다.

첫째 그림 (2)의 回路中 前段의 陽極이 다음段의 格子에 直接으로 連結되어 있어 格子電位를 加해 주어야 된다.

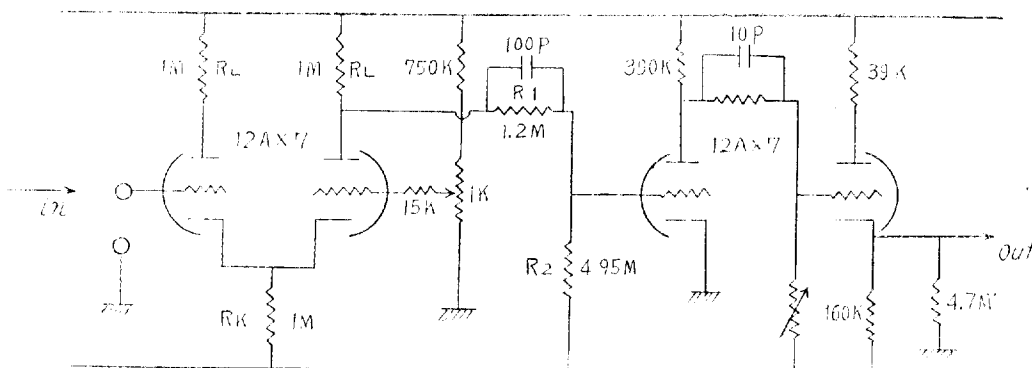


그림 2. 演算增幅器

그리고 이回路에서 다음段에連結시킬 경우 利得을
크게하기 為하여 R_L 을 可及的으로 크게하고 $R_1 R_2$ 도
이에 對應하여 充分히 큰값으로 取하여 電壓分割을 (어
기서는 0~4V) 하여야 한다.

둘째 각段間に 높은抵抗을 사용하면서, 高域周波數에서 位相이 变이 不安全이 되므로 이의 补償이 必要하며, 且 貫管空格子電流에서 큰 影響을 줄을 고려 하여 야 한다.

셋째 出力端에서 零點漂動(Drift)이 生起므로 이를 可及的 적개 하여야 한다. 이것은 綜合的으로理想的的 性質을 갖는 擬幅器直線的 關係式이 甚其重要

로된다. 여기에 E_i 는 入力電壓이고 E_0 는 出力電壓이며, 絶對項 b 는 電源變動 外界溫度 等環境條件의 變化 真空管의 燃燒以後의 時間, 機械的振動 等의 外的原因과 真空管自身의 不規則한 變動으로서 生起하는 一種의 離子。

要서 入力電壓이 없이도 出力電壓의 變動이 있는 零點
浮動을 일한다. 그리고 係數 a 는 위에서와 같이 外的原
因에서 주는 變化量으로서 入力이 있을 때만 生起하는 增
幅率의 差度를 表하는 것이다. 이 係數 a 의 變化는 實上 feedback 으로서 充分히 除去할 수 있으므로 큰 問題
가 아님. 絶對項인 b 는 真空管의 散彈雜音과 入力同

路의 抵抗의 热雜音 等에서 영 향을 받는 關係上 依存. 이
變化量을 없애기에는 困難한 것이다. 이것은 致命的인
關係가 있는 初段의 differential amplifier に 對한 特
性을 考察하므로서 그 解를 얻을 수 있으므로 다음과 같
이 이를 取扱하였다.

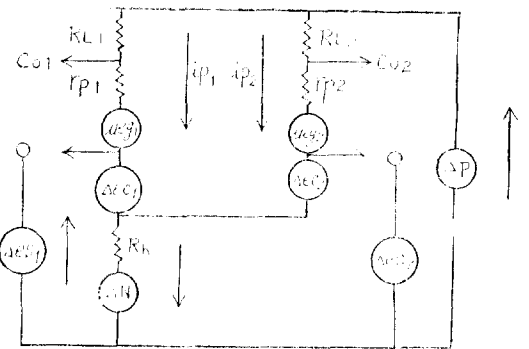
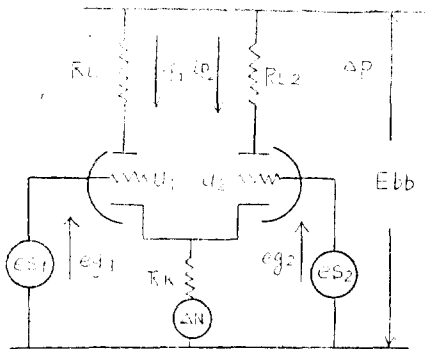


그림 3. Differential amplifier

그림 3에서 各真空管特性式을 利用하여 e_{01} 或은 e_{02}
에 對한 式을 뽑면 아래와 같이 된다.

$$\text{即 } \gamma_p i_{p1} = e_{p1} + \mu_1 e_{g1} + \epsilon \quad \dots \dots \dots (7)$$

$$\gamma_p i_{p2} = e_{p2} + \mu_2 e_{g2} + \epsilon \quad \dots \dots \dots (8)$$

$$e_{g1} = \Delta e_{s1} + \Delta N + \Delta e_{c1} - (i_{p1} + i_{p2})R_K \quad \dots \dots \dots (9)$$

$$e_{g2} = \Delta e_{s2} + \Delta N + \Delta e_{c2} - (i_{p1} + i_{p2})R_K \quad \dots \dots \dots (10)$$

$$e_{p1} = \Delta p + i_{p1} R_{L1} \quad \dots \dots \dots (11)$$

$$e_{p2} = \Delta p + i_{p2} R_{L2} \quad \dots \dots \dots (12)$$

$$e_{p1} = \Delta p + \Delta e_{c1} + \Delta N - i_{p1} R_{L1} - (i_{p1} + i_{p2})R_K \quad \dots \dots \dots (13)$$

$$e_{p2} = \Delta p + \Delta e_{c2} + \Delta N - i_{p2} R_{L2} - (i_{p1} + i_{p2})R_K \quad \dots \dots \dots (14)$$

$$\therefore e_{01} = (\gamma_p + R_L)(\gamma_p + R_L + 2(1+u)R_K) \left\{ \frac{\gamma_p(\gamma_p + R_L)}{R_L + (1+u)R_K} \Delta p - R_L(1+u)(\gamma_p + R_L) \cdot \Delta N - R_L(1+u)(\gamma_p + R_L + (1+u)R_K) \Delta e_{c1} + R_K R_L (1+u)^2 \cdot \Delta e_{c2} + R_K R_L u(1+u) \Delta e_{s2} - R_L(\gamma_p + R_L) \epsilon - [\gamma_p + R_L + (1+u)R_K] \mu R_L \cdot \Delta e_{s1} \right\} \quad (15)$$

$$e_{02} = (\gamma_p + R_L)(\gamma_p + R_L + 2R_K(1+u)) \left\{ (\gamma_p + R_L) \right. \\ \left. + \gamma_p + 2R_K(1+u) \Delta p - \Delta N[(1+u)(\gamma_p + R_L) R_L] - \Delta e_{c2}(1+u) R_L [\gamma_p + R_L + R_K(1+u)] + \epsilon(\gamma_p + R_L) R_L + \mu R_L [\gamma_p + R_L + R_K(1+u)] \Delta e_{s2} - R_L R_K(1+u)^2 \Delta e_{c1} - R_L R_K u(1+u) \Delta e_{s1} \right\} \quad (16)$$

가된다.

上式에서

$$G_{s2} = \frac{\partial e_{02}}{\partial (\Delta e_{s1})} = \frac{R_L R_K u(1+u)}{[\gamma_p + R_L + 2R_K(1+u)](\gamma_p + R_L)} \quad \dots \dots \dots (17)$$

$$G_{s1} = \frac{\partial e_{01}}{\partial (\Delta e_{s2})} = \frac{R_L R_K u(1+u)}{[\gamma_p + R_L + 2R_K(1+u)](\gamma_p + R_L)} \quad \dots \dots \dots (18)$$

$$G_N = \frac{\partial e_{02}}{\partial (\Delta N)} = \frac{(1+u)R_L}{\gamma_p + R_L + 2R_K(1+u)} \quad \dots \dots \dots (19)$$

$$G_p = \frac{\partial e_{02}}{\partial (\Delta p)} = \frac{2R_K(1+u) + \gamma_p}{\gamma_p + R_L + 2R_K(1+u)} \quad \dots \dots \dots (20)$$

$$G_{c1} = \frac{\partial e_{02}}{\partial (\Delta e_{c1})} = \frac{R_L R_K (1+u)^2}{[\gamma_p + R_L + 2R_K(1+u)](\gamma_p + R_L)} \quad \dots \dots \dots (21)$$

$$G_{c2} = \frac{\partial e_{02}}{\partial (\Delta e_{c2})} = \frac{R_L(1+u)[\gamma_p + R_L + R_K(1+u)]}{[\gamma_p + R_L + 2R_K(1+u)](\gamma_p + R_L)} \quad \dots \dots \dots (22)$$

$$G'_{s2} = \frac{\partial e_{02}}{\partial (\Delta e_{s2})} = \frac{u R_L [\gamma_p + R_L + R_K(1+u)]}{[\gamma_p + R_L + 2R_K(1+u)](\gamma_p + R_L)} \quad \dots \dots \dots (23)$$

$$G'_{s1} = \frac{\partial e_{01}}{\partial (\Delta e_{s1})} = \frac{u R_L [\gamma_p + R_L + R_K(1+u)]}{[\gamma_p + R_L + 2R_K(1+u)](\gamma_p + R_L)} \quad \dots \dots \dots (24)$$

와 같은 各 gain 的 값을 求할 수 있으며 G_s 는 實際의
增幅率을 나타내는 式이며 G_p , G_N 그리고 G_c 등은

drift 를 이르키는 要素로 되어있는 것이다. 그리고 power supply 變動에 對한 disturbance ratio 는 $R_p = \frac{G_p}{G_s}$, $R_N = \frac{G_N}{G_s}$, $R_c = \frac{G_c}{G_s}$ 로 表示되는바 全體的으로 實際값을 代入하였을 때 R_L 과 R_K 의 最適值를 求하여보면 그림 4 와 같이된다.

그림 4에서 보는 바와 같이 若 $R_L = R_K = 1M$ 로 하면

$$G_p = 1, G_N = -0.5, G_{c1} = 47.4, G_{c2} = -47.7$$

$$\therefore G_{total} = 96.6, R_{total} = 2.9, G_s = 33$$

또 $R_L > R_K, R_L = 1M, R_K = 1K$ 과 하면

$$G_p = 0.21, G_N = 79.9, G_{c1} = 7.58, G_{c2} = -87.5$$

$$\therefore G_{total} = 175.49, R_{total} = 3.3, G_s = 7.51$$

그리고 $R_L < R_K, R_L = 1K, R_K = 1M$ 과 하면

$$G_p = 1, G_N = -0.5 \times 10^{-3}, G_{c1} = 0.8, G_{c2} = -0.8$$

$$\therefore G_{total} = 1, R_{total} = 1.3, G_s = 0.79$$

가 되는 바 G_s を 考慮할 하면 $R_L < R_K$ 가 最適值이나 G_s 를 考慮하여야 되므로 $R_L > R_K$ 의 値을 最適值로 指定해 되는 것이다. 故로 這條件의 要求條件에 依하여 R_L, R_K 의 値을 可及的 한것을 使用하여 判擇을 크게 하였고, R_L

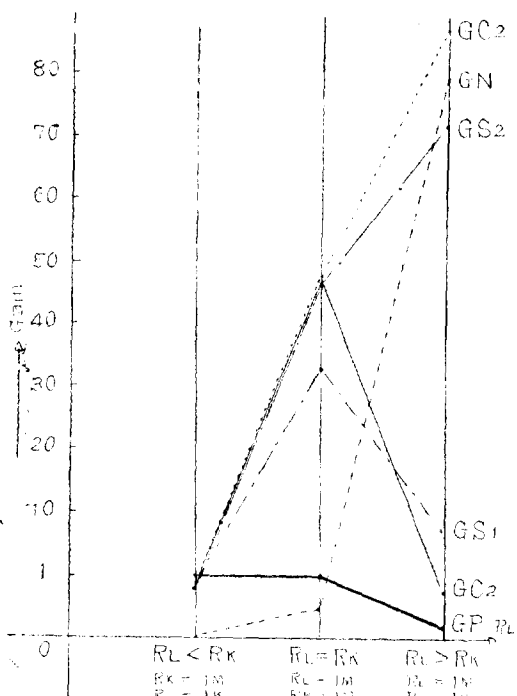


그림 4. Differential amplifier의 R_K 와 R_L 의 値에 對한 power supply 變動率에 따른 gain.

과 R_K 가 같은 値가 되어야 drift 가 減少되게 하므로서 這條件를 滿足시킬 것이다. drift 的 영향은 또한

grid current 에도 制限을 받는다. 그것은 grid bias에

對한 grid current 特性曲線을 보면 그림 5 와 같아

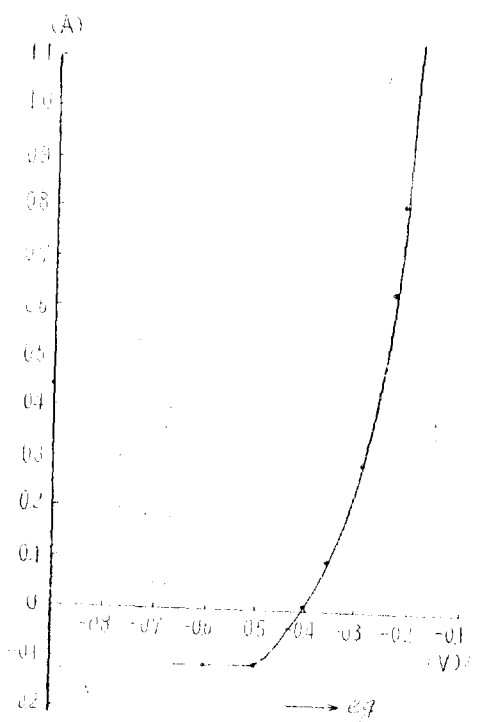


그림 5. Grid 電壓에 對한 grid 電流特性曲線.

negative 와 positive 方 機性(?)을 갖는 grid current 로 나타나 positive grid current에서 보는 바와 같이 bias에 對한 變化가甚한 것을 알수있다. 이 演算增幅器에는 feed back 을 使用하므로서 加減 또는 累分 等의 計算을 하는 關係上 grid current 이 無視 或은 不變이 要求되는 故로 negative grid current 을 나타내는 bias點 $-0.40V$ 以下의 部分을 指하여 drift 를 減少시켜서 亦는 否外, 這條件를 滿足시켰다.

實際적으로 drift differential의 特性曲線을 그려보면 그림 6 과 같이 되어 兩端의 symmetrical 한것을 볼 수 있다. (式 15, 16, 21, 22 參照). 이것은 雙極管에서 웃트間의 特性差가 작다는 뜻인것이다. 또 第2段의 增幅器의 特性을 보면 그림 7 과 같이 bias 를 $-0.5V$ 에서 $-4.0V$ 까지의 限界로 class A의 增幅을 有す 있음을 보여주고 있다. 그러나 이 增幅器의 動作上 또 問題가 되는 것은 AC hum 과 noise 인 것이다. 이 hum 과 noise 는 power supply 및 heater 電源變化에 따라 真空管內部 電子移動에 因한 것으로 이를 除去하기 为하여 外的原因은 考慮하였다. 這條件 power supply의 ripple 을 $1.5 mV$ 内至 $2.0 mV$ 로 減少시키고서 hum 을 줄였으며 同時 heater 電源으로 DC 電源을 使用하고 그 値은

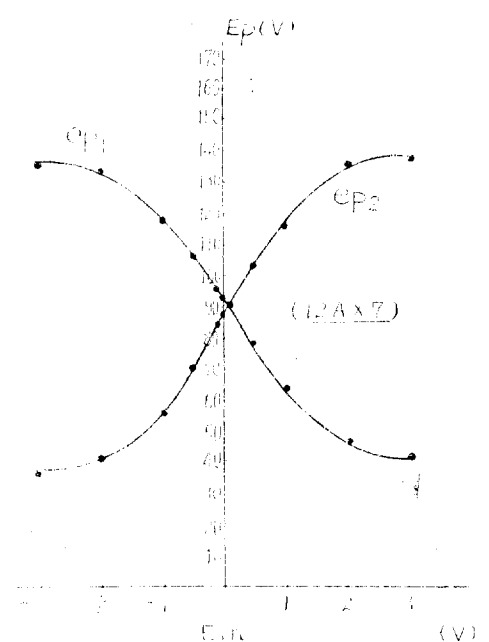


그림 6. Differential amplifier의 特性

規格
若干의 헤드room은 12V(12A \times 7)으로 取하므로서
 $= 12.6V$
hum과 noise를 일수있었다. 그러나 후자가 noise가 真

空管에 따라 여러 條件에서 일어나는 noise는 더 이상 줄일수 없었다.

以上과 같은 特性調查로써 全體的回路은 組立한 것이 그림 (2)와 같이 되어 이의 線型特性曲線을 實驗하여 보면 아래와 같이 된다. 이曲線을 볼때 入力電壓 ±50mV에서 零和되고, 利得이 約 1,200가지에 달할수 있음을 알수있고, 正入力에對한 出力의 極이 相反파므로 實際로 中性子東 +\phi 와 -\phi 代身에 +E 와 -E를 使用할수

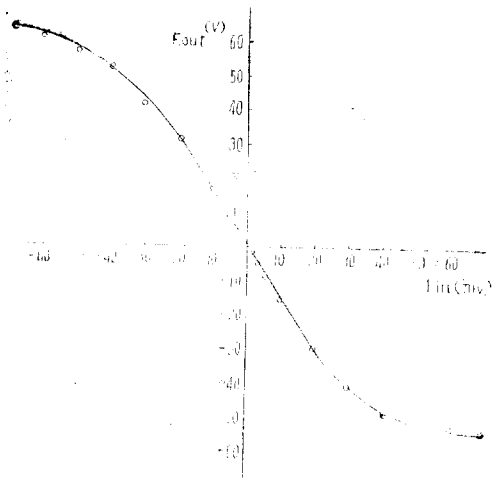


그림 8. Operational amplifier의 線型特性曲線

있음을 보이주었다. 또 이 回路의 周波數特性을 보면 그림 9와 같이 저의 low frequency(0.01~100 cycle)를 갖고 있는 原子爐動特性的 周波數帶에서 gain은 約 62를 유지하고 있다는 事實을 알수도 있었다. 끝으로 이 回路의 特性的一部로서 noise와 drift를 測定하여 보

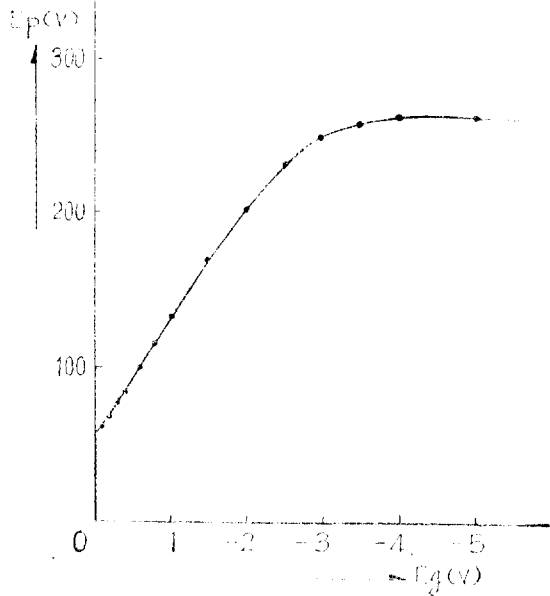


그림 7. Typical triode amplifier의 特性曲線

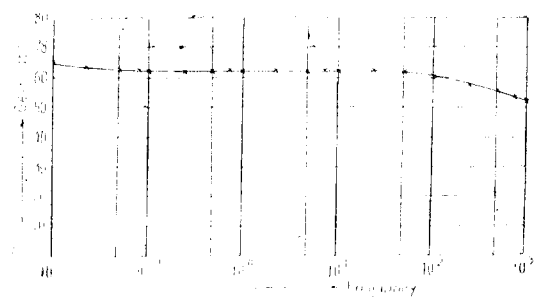
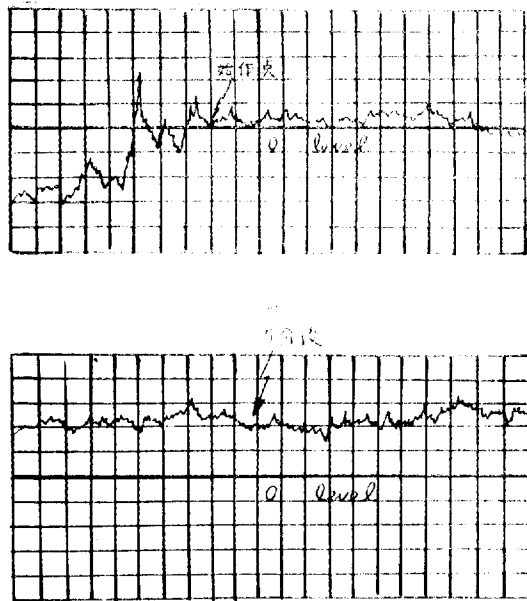
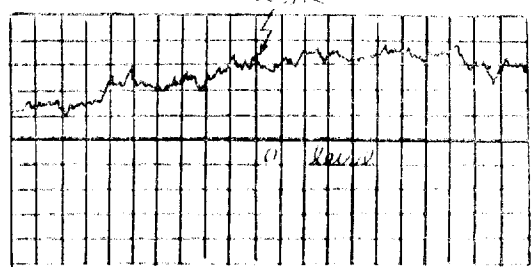


그림 9. 演算增幅回路의 周波數特性



Graph (D) 演算增幅回路의 drift와 noise



Graph (1) 演算增幅回路의 drift와 noise

별 graph(1)과 같이 noise $166 \mu V$ 에, drift $1.36 mV$ 程度 되었나. 이것을 萬 - chopper stabilized amplifier 를 사용한다면 이것에 依한 gain 을考慮하게 되므로 noise 는 $166 mV$ 와 $1.36 \mu V$ 의 drfit 를 일으키는 것이다. chopper stabilized amplifier 는 그림 10 과 같으면兩端 A, B 를 differential amplifier 의雙 grid 入力 端에 각각 加해주는 것이다.

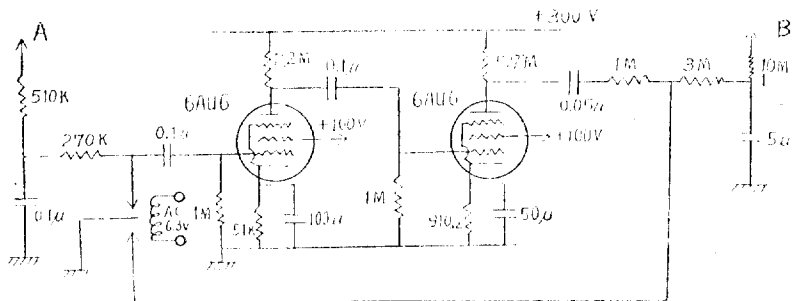


그림 10. Chopper stabilized amplifier

(二) 演算增幅器의 利用

以上과 같은 演算增幅器의 利用은 아래그림 11과 같
이 結合하면 加減 및 積分演算을 할수 있는 것이다.

이와 같은 結線은 첫째 input grid current(i_g)=0, 둘째 drift 와 off set=0, 셋째 amplifier 出力이 入力에 對하여 180° 位相差를 갖았다는 것을 前項에 서 說明한

마와 같이 滿足되어야 한다.

$$\text{故有 } e_o = -\frac{e_0}{A}, \quad -A = \text{amplifier gain}$$

$$i_1 = \frac{E_1 - e_g}{Z_1}, \quad i_e = \frac{e_g - E_0}{Z_0} \quad \dots \dots \dots \quad (25)$$

二三二

$$\phi \models \varphi \quad \frac{E_1 - e_g}{Z_1} = \dots = \frac{e_g - E_0}{Z_0}$$

8 | Page

$$[v] \cdot [v] = Z_0 E_1 + \frac{E_0}{4} Z_0 - E_0 Z_1 - \frac{E_0}{4} Z_1$$

$$E_0[Z_1 + \frac{1}{4}(Z_0 + Z_1)] = -E_1 Z_0$$

$$\therefore \frac{E_0}{E_1} = \frac{-Z_0}{Z + \frac{1}{\pi}(Z_0 + Z_1)}$$

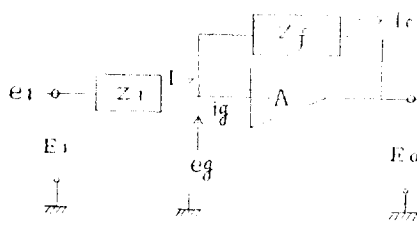


圖 11. 一般的演算器

$$\frac{Z_0}{Z_1} = \frac{1 + \frac{1}{A} (1 + \frac{Z_0}{Z_1})}{1 + \frac{1}{A} (1 + \frac{Z_0}{Z_1})} \quad \dots \dots \dots (27)$$

$$\therefore \frac{E_0}{E_1} = \frac{Z_0}{Z_1} \quad (A \gg 1) \quad \dots \dots \dots (28)$$

의結果를 알게된다.

萬 $\cdot Z_1 = R_1 = 1M$, $E_0 = R_0 = 1M$

라하고 input $E_1 = 0.1V$ 라하면

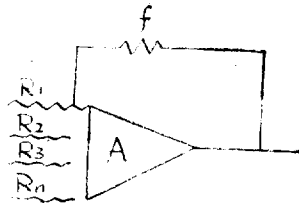


그림 12. Summation

$$E_0 = -\frac{R_0}{R_1} E_1 - \frac{E_0}{R_2} E_2 - \dots - \frac{R_0}{R_n} E_n \quad \dots \dots \dots (29)$$

으로 表示되는데 이의 實驗値을 算出하면 다음과 같아 된다.

즉	$e_1 = -0.01$	$e_1 = 0.02$
	$e_2 = -0.02$	$e_2 = 0.06$
	$e_3 = -0.03$	$e_3 = -0.03$
	$e_4 = 0.02$	$e_4 = 0.05$
	$e_5 = -0.02$	$e_5 = 0.06$
	$e_6 = -0.02$	$e_6 = -0.03$
	$e_7 = 0.02$	$e_7 = -0.04$

가된다. 따라서 原子爐의 simulator は 為한 上記 amplifier 的 利用은 그림 13 과 같이 演算增幅器를 用いて 使用 하므로서 $+E$ 와 $-E$ 를 알게 하였고, $f(E.P.D.)$ 項에서 P を 變化시켜서 reactivity 變化量을 알게 하였다. 그것은 그림(13)에서

$$I_3 = \frac{DE}{R(1 + \frac{P}{4R} + \frac{D}{4R}(1 - D_2))} \quad \dots \dots \dots (30)$$

를 얻어 $D=1$ 이 되었을 때

$$I_{3max} = \frac{E}{R \cdot \left(\frac{R}{P} + 1 \right)}$$

$$\text{가져는 바 } I_{3max} = \frac{\partial R}{\partial R_{max}} \quad \dots \dots \dots (21)$$

의 關係를 알게 되는 것으로 reactivity 變化의 尺度를 直接 I_3 由流하 $\cdot E$ 或者 $\cdot -E$ 를 측定할 수 있다는 것이다.

III. 結 論

上記에서 取扱한 바와 같이 演算增幅器의 取扱은 그設計上相當히 까다로운 것임과 特殊한 低雜音真空管을 使用하지 않고 12AX7 真空管으로서 noise 166 μV 와 drift 1.36 mV였던 경우 model 6002 7-4의 DC

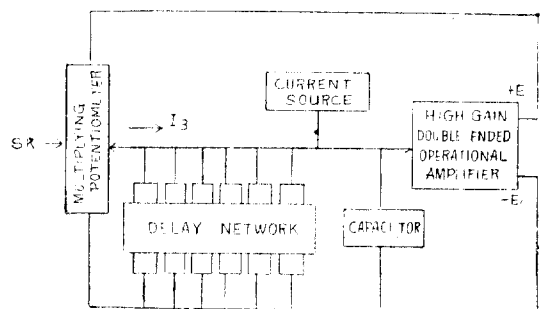


그림 13. 原子爐模擬基本回路

amplifier 가 갖고 있는 drift 2 mV와 noise(with chopper stabilized amplifier) 3 mV에比하여 그性能이 過去에나지 지않는다는 것을 알을 수 있었고, 관製作하여야 할 TRIGA MARK原子爐의 模擬에 이를 利用할 수 있다는 點을 보여주고 있으나 power supply 를 3개와 heater 用 DC電源이 必要로하는 缺點으로 이의 transistorized 된 것이 더 要望되고 있다.

(1963年 7月 31日接受)

參 考 文 獻

- Samuel Glasstone: Principles of nuclear reactor engineering, p.245.
- O'Meara F.E.J.: Reactor simulator apply play, V24, No.9 1953.
- Charles F. Bonilla: Nuclear engineering, p.630.
- M.A.Schultz: Control of nuclear reactors and power plants p.284.
- R.B. Fraenckel: Designing chopper stabilized operational amplifier, electronics, p.48, March 3, 1961.
- Control engineering hand book p.5-8
- F.A. Russell: IRE, vol.35, p.443.
- G.E. Valley: Vacuum tube amplifier, p. 1948.
- C.M. Verhager: A survey of the limits in D. C. amplification I.R.E., vol.41, p.615, March 1953.
- Robert W. Mayer: Servomechanism and regulating system design (II) p.150, 1955.
- Robert W. Landee: Electronic designers' handbook, p. 3-74.
- P.R. Bell: Electronic simulator, rev. scie. instr., vol.21, No.8, 1950.
- Karplus: 1. Method stabilized operating amplifier p.36. 2. Analog simulation, p.232,